



بررسی پاسخهای قابهای با نامنظمی جرم در ارتفاع با روش تحلیل استاتیکی فزاینده غیرخطی مدب

مجتبی دیربان، فارغ التحصیل کارشناسی ارشد مهندسی زلزله / محسن غفوری آشتیانی، استاد / عبدالرضا سروقدم، استادیار پژوهشگاه

۱-چکیده

قرارگرفته‌اند. تغییر در هر کدام از پارامترهای مذکور، باعث تغییر ویژگیهای دینامیکی سیستم گردیده است.

هدف، مشاهده رفتار قابهای با نامنظمی جرم در ارتفاع و مقایسه نتایج MPA با روش دقیق تاریخچه زمانی غیرخطی (NLTH) می‌باشد. در این تحقیق، پارامتر نسبت تغییر مکان نسبی طبقات که اهمیت خاصی در برآورد میزان آسیب پذیری سازه دارد و برش طبقات مورد بررسی قرارگرفته‌اند.

نتایج این پژوهش حاکی از آن است که تغییر در نسبتهای جرمی و محل نامنظمی تأثیر کمی در نتایج MPA می‌گذارد؛ اما متوسط تغییر مکان نسبی طبقه در روش MPA اختلاف زیادی نسبت به روش دقیق تاریخچه زمانی غیرخطی ندارد. مقایسه نمودارهای برش طبقات با نسبت تغییر مکان نسبی نیز مبین آن است که MPA نسبت به محل نامنظمی و نسبت جرمی حساستر و پاسخهای روش دقیق نزدیکتر است.

کلید واژه‌ها: تحلیل استاتیکی فزاینده غیرخطی مدب، تاریخچه زمانی غیرخطی، نامنظمی جرم در ارتفاع، نسبت تغییر مکان نسبی، برش طبقه

امروزه با ورود دستورالعملها و فلسفه‌های جدید طراحی که از معیار رفتار برای طراحی سازه‌ها استفاده می‌کنند، موضوع برآوردهای سازه‌ها از اهمیت بسیاری برخوردار و تحقیقات زیادی در این زمینه در حال انجام می‌باشد. در این راستا، استفاده از روش‌های تحلیل استاتیکی غیرخطی در تخمین عملکرد سازه‌های زلزله بسیار مورد توجه متخصصین قرارگرفته است. اخیراً برای بهبود هر چه بیشتر روش استاتیکی فزاینده غیرخطی، روش استاتیکی فزاینده غیرخطی مدب (MPA) توسط چوپرا و گوئل ارائه شده است که امکان ملاحظه نمودن تمامی مدهای مؤثر در پاسخ سازه را به کاربر می‌دهد. رفتار ساختمانهای نامنظم در زلزله‌های گذشته، نشان می‌دهد که رفتار مطلوبی نسبت به ساختمانهای منظم نداشته‌اند. پس به ارزیابی مناسبتر نیاز می‌باشد و بهتر است که این ارزیابی با روش‌ها و تفسیرهای ساده همراه باشند. در این تحقیق، روش MPA در این سازه‌ها مطالعه شده است.

در این راستا، سی قاب فولادی که در آنها پارامترهای تعداد طبقات (هشت، دوازده و شانزده)، موقعیت طبقه نامنظم (پایین، وسط و بالا) و نسبت جرمی طبقه نامنظم به طبقات دیگر (۵۰، ۱۵۰ و ۳۰۰ درصد) متغیر بودند، مورد بررسی

استاتیکی غیرخطی می باشد^[۴].

روند های تحلیل استاتیکی غیرخطی (مانند MPA) در کنار روش تحلیل دینامیکی تاریخچه زمانی غیرخطی توسعه یافته و چون روند های ساده تری را شامل می شوند، جذابیت های خود را علی رغم پیشرفت و توان روش تحلیل دینامیکی تاریخچه زمانی غیرخطی، حفظ کرده اند.

روش تحلیل استاتیکی فزاینده غیرخطی، روش ساده ای است که برای برآورد پاسخ ناشی از رفتار غیرخطی سازه ها و اجتناب از انجام تحلیل دینامیکی غیرخطی متداول شده است. با توجه به نتایج نسبتاً قابل قبول به دست آمده از این روش تحلیل بويژه برای سازه هایی که مداول تغییر شکل در آنها حاکم است، می توان آن را روش مناسبی برای تخمین رفتار سازه دانست.

آنچه که بر کارایی این روش می افزاید، امکان ترکیب آن با مفاهیم نیاز لرزه ای و به دست آوردن تخمین از رفتار و پاسخ سازه در زلزله دلخواه می باشد. در واقع در روش تحلیل استاتیکی فزاینده غیرخطی مدى از این قابلیت استفاده شده است. با توجه به کاربرد روز افزون این روش برای تخمین پاسخ سازه ها، محققان بسیاری به منظور شناخت و کاهش نقاط ضعف و بهبود روش فعالیت نموده اند. والی و هریس روش اعمال اثمرده ای بالاتر را به صورت عملی برای سازه های موجود پیشنهاد کرده اند^[۵] و کیلارو فایفر استفاده از این روش را برای ساختمنهای نامنظم بسط داده اند^[۶]. گوپتا و کونات با استفاده از تحلیل استاتیکی فزاینده روشنی برای تعیین تغییر مکان سازه بر پایه طیف پیشنهاد داده اند^[۷] و در دستور العمل بهسازی لرزه ای ساختمنهای موجود این روش و نحوه استفاده از آن گنجانده شده است^[۱].

در این مقاله، ابتدا به اصول تحلیل استاتیکی فراینده غیرخطی مدى و مدل سازی و محاسبات اشاره شده، سپس نتایج

عملکرد لرزه ای یک ساختمان به خسارات سازه ای و غیرسازه ای در هر زلزله بستگی دارد. به عنوان مثال، در دستورالعمل بهسازی لرزه ای ساختمنهای موجود، عملکرد به محدود کردن خسارت به یک سطح مورد نظر و ایجاد یک سطح عملکردی از پیش تعیین شده برای یک زلزله با خصوصیات معلوم اطلاق می گردد^[۱]. در این میان استفاده از پارامتر تغییر مکان برای محدود کردن خسارت به یک حد مورد نظر در ساختمن از اهمیت ویژه ای برخوردار است. دستورالعمل هایی مانند FEMA302 و FEMA303^{[۲] و [۳]} کنترل تغییر مکان جانبی بام و تغییر مکان بین طبقه ای برای محدود کردن خسارت های وارد به تیغه ها، شیشه ها، درها و اجزای غیرسازه ای را ضروری می دانند.

آیین نامه های طراحی موجود هنوز از مقاومت به عنوان مهمترین پارامتر استفاده می کنند. این آیین نامه ها محاسبه و کنترل تغییر مکان را به انتهای طراحی واگذار می کنند و مقادیر واقعی پاسخ تغییر مکان غیرخطی سازه در مدت زلزله و خسارات سازه ای و غیرسازه ای محتمل را محاسبه نمی نمایند. روند های تحلیل دینامیکی تاریخچه زمانی غیرخطی در ساله ای اخیر با گسترش توان رایانه ها بیشتر مطرح گردیده اند؛ اما هنوز به دلیل پیچیدگی مدل سازی و کار با نتایج تحلیل های کی از روش های آکادمیک محسوب شده و در جامعه مهندسی فراگیر نمی باشند. با کاربرد تحلیل های دینامیکی تاریخچه زمانی غیرخطی، روش های استاتیکی غیرخطی مقبولیت خود را از دست نداده و بر عکس با کمک گرفتن از مفاهیم تحلیل های دینامیکی تاریخچه زمانی غیرخطی روش های جدید تری از تحلیل استاتیکی غیرخطی به وجود آمده است که روش از جدید ترین روش های Modal Pushover Analysis

نشان دهنده سخت شدگی پس از تسلیم است. با داشتن این منحنی می‌توان رفتار غیرخطی سازه یک درجه آزاد معادل را تعیین کرد. محورهای مختصات منحنی سازه از یک تحلیل استاتیکی فراینده غیرخطی به دست می‌آید که پس از تبدیل به ADRS به منحنی رفتار غیرخطی سازه یک درجه آزاد معادل با جرم واحد تبدیل می‌شود. برای تعیین مقدار پاسخ این سازه باید معادله حرکت آن را تشکیل داد و سپس آن را حل کرد. با توجه به منحنی‌های نشان داده شده در شکل (۱)، معادله حرکت سازه یک درجه آزاد معادل به شکل رابطه (۱) خواهد بود:

$$\ddot{D}_n + 2\zeta \omega_n \dot{D}_n + \frac{F_{sn}(D_n, \dot{D}_n)}{L_n} = -\ddot{u}_g(t) \quad (1)$$

در رابطه (۱)، D_n پاسخ تغییر مکان سازه یک درجه آزاد معادل و \dot{D}_n مشتقات اول و دوم D_n ، ζ میرایی در نظر گرفته شده، ω_n فرکانس سازه در مردم و تاریخچه زمانی شتاب زلزله می‌باشد. $\frac{F_{sn}}{L_n}$ از تقسیم محور قائم منحنی ظرفیت (برش پایه سازه اصلی) بر جرم مدد مؤثر (M_n^*) به دست می‌آید و \ddot{u}_g شتاب زمین می‌باشد.

شکل (۱) می‌بین آن است که سختی سازه تابعی از مقدار تغییر مکان و جهت آن می‌باشد. با حل رابطه (۱) به صورت عددی و یا مدل‌سازی مستقیم سازه یک درجه آزاد با رفتار غیرخطی مورد نظر، می‌توان مقدار بیشینه تغییر مکان سازه یک درجه آزاد معادل (D_n) را به دست آورد. پس از به دست آوردن این مقدار، از رابطه (۲)، تغییر مکان بیشینه انتهای سازه اصلی محاسبه می‌گردد:

$$U_{r,n} = \Gamma_n \Phi_{r,n} D_n \quad (2)$$

در رابطه (۲)، $\Phi_{r,n}$ تغییر شکل انتهای سازه در مردم مورد نظر و D_n تغییر مکان بیشینه سازه یک درجه آزاد معادل می‌باشد. در واقع اگر روش طیف ظرفیت روشی بر پایه تحلیل طیفی تصور شود، می‌توان روش MPA را روشی بر پایه تحلیل تاریخچه زمانی

عددی مقایسه و نمودارها بررسی و در نهایت اهم نتایج تحقیق آورده شده است.

۳- تحلیل استاتیکی فراینده غیرخطی مدد

اصول اولیه روش تحلیل استاتیکی فراینده غیرخطی مدد (MPA) در سالهای ۲۰۰۱ و ۲۰۰۲ توسط چوپرا و گوئل پیشنهاد گردید [۹ و ۸]. در این روش با استفاده از مفهوم سازه یک درجه آزاد معادل در هر مردم و با اعمال نگاشت زلزله دلخواه، تغییر مکان سازه یک درجه آزاد معادل به دست می‌آید که از روی آن تغییر مکان سازه اصلی در مردم مورد نظر محاسبه می‌شود.

۳-۱- مفهوم سازه یک درجه آزاد معادل

مفهوم حاکم در کلیه روش‌های تحلیل استاتیکی غیرخطی، مفهوم سازه یک درجه آزاد معادل می‌باشد [۵]. در واقع پس از به دست آوردن منحنی ظرفیت سازه از یک تحلیل Pushover، با تقسیم مقادیر محور افقی منحنی ظرفیت سازه اصلی بر حاصل ضرب مشارکت مددی در مقدار مدسازه در نقطه بام ($\Gamma_n \phi_n$) و تقسیم محور قائم منحنی ظرفیت سازه اصلی بر جرم مدد مؤثر (M_n^*) منحنی طیف پاسخ تغییر مکان شتاب (Acceleration Displacement Response Spectra) مورد نظر به دست می‌آید. در روش طیف ظرفیت هدف از این کار، رسم همزمان پارامترهای نیاز و ظرفیت در یک دستگاه مختصات و تعیین نقطه تقاطع آنها به عنوان نقطه عملکرد سازه (Performance Point) می‌باشد؛ اما در حقیقت منحنی حاصل نشان دهنده رفتار سازه یک درجه آزاد معادل می‌باشد. در این منحنی دو خطی شبیه قسمت اول نشان دهنده رفتار خطی سازه یک درجه آزاد معادل و شبیه قسمت دوم، که معمولاً به صورت ضریبی از شبیه قسمت اول بیان می‌شود،

کل بار نقلی و سپس بار جانبی به سازه اعمال شود. انتظار می‌رود که بر اثر اعمال بار نقلی به سازه هیچ گونه رفتار غیرخطی در اعضای سازه‌ای روز ننماید که نتایج تحلیل، مؤید این مطلب می‌باشد [۴].

۱-۲-۳- محاسبه منحنی ظرفیت سازه

پس از انجام تحلیل استاتیکی فراینده، منحنی‌های ظرفیت سازه برای هر مد به دست می‌آید. به منظور انجام تحلیل MPA، منحنی ظرفیت به دست آمده را باید به منحنی‌های دو خطی تبدیل کرد. در این راستا سه اصل اساسی باید مورد توجه قرار گیرد:

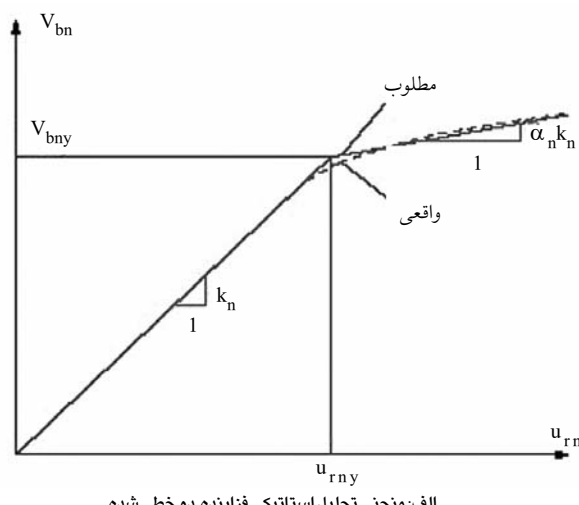
۱- شبیب قسمت اولیه منحنی دو خطی مساوی شیب ابتدای منحنی اولیه است.

۲- سطح زیر منحنی دو خطی با سطح زیر منحنی اولیه مساوی است.

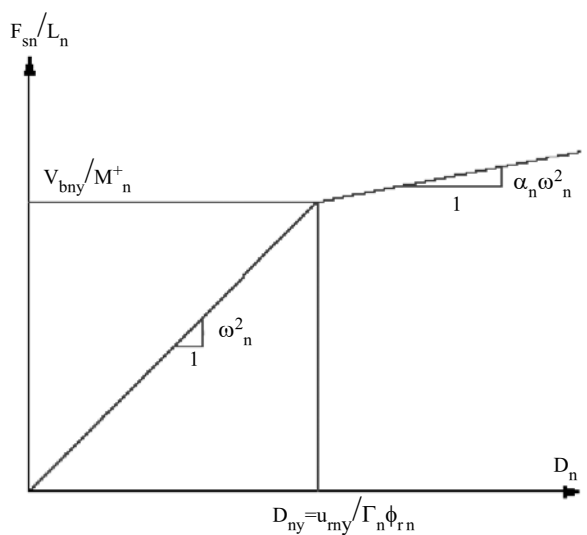
۳- نقطه گسیختگی منحنی دو خطی، منطبق بر گسیختگی منحنی اولیه است.

۲-۲-۳- تحلیل استاتیکی فراینده غیرخطی مدلی

با داشتن رفتار غیرخطی یک درجه آزاد معادل و انجام تحلیل دینامیکی تاریخچه زمانی بر روی آن می‌توان حداکثر تغییر مکان را برای هر زلزله به دست آورد. برای هر مد جداگانه تحلیل دینامیکی تاریخچه زمانی غیرخطی با استفاده از نگاشت زلزله‌های مورد نظر صورت می‌گیرد. نتایج حاصله با استفاده از رابطه (۲) به تغییر مکان انتهایی سازه اصلی در مد مربوطه تبدیل می‌شوند. یکی از مزیتهای این روش، همگرا شدن تحلیل برای کلیه سازه‌هاست [۸]. علاوه بر آن، خطای ناشی از قرائت محل تقاطع طیف پاسخ و طیف ظرفیت که در روش تحلیل ظرفیت امکان بروز آن وجود دارد، در این روش حذف می‌گردد. با توجه به اینکه انجام تحلیل دینامیکی



الف: منحنی تحلیل استاتیکی فراینده دو خطی شده



ب: رابطه نیرو-تغییر مکان سازه یک درجه آزاد معادل

شکل (۱): رابطه نیرو-تغییر مکان سازه اصلی و یک درجه آزاد معادل به حساب آورد. در هر دوروش بالاستفاده از یکی از روش‌های ترکیب مدلی می‌توان نتایج را به مدهای دیگر تعمیم داد.

۲-۳- مراحل تحلیل روش MPA

با توجه به اینکه در تحلیل از منحنی ظرفیت سازه استفاده می‌شود، انجام تحلیل استاتیکی فراینده برای سازه‌های مورد نظر لازم است. برای در نظر گرفتن آثار مدهای بالاتر در این سازه‌ها، الگوی توزیع بار جانبی با توجه به شکل مد مورد نظر انتخاب می‌گردد. در واقع اعمال بارهای جانبی باید پس از اعمال بارهای ثقلی انجام شود. به عبارت دیگر، در ابتدا باید

- ۱- تعداد دهانه ها در تمام قابها ثابت و برابر سه می باشد که طول هر دهانه پنج متر است.
- ۲- ارتفاع کلیه طبقات باهم مساوی و برابر سه متر می باشد.
- ۳- دهانه بارگیر تیرها پنج متر فرض می شود.
- ۴- سقف طبقات از نوع تیرچه بلوك است و صلب فرض می شود.
- ۵- سیستم سازه ای از نوع سیستم دوگانه قاب خمسی فولادی معمولی و مهاربند می باشد.
- ۶- برای بارگذاری زلزله از استاندارد ۲۸۰۰ استفاده شده است [۱۰].

۷- کلیه ستونهای قابهای مذکور، قوطی و تیرهای آنها از مقطع IPE می باشد. برای بادبندها از ناودانی دوتایی و برای تحلیل و طراحی قابها از نرم افزار SAP2000 استفاده شده است. قابهای مذکور با آینه نامه تنש مجاز AISC-ASD89 طراحی شده اند [۴].

برای نامگذاری مدل ها از چپ به راست ابتدا یک عدد به عنوان تعداد طبقات (هشت، دوازده و شانزده)، سپس در قاب منظم حرف R و در قاب نامنظم حرف IR و پس از آن با توجه به موقعیت طبقه نامنظم که در بالا (T=TOP)، در وسط (M=MIDDLE) یا در پایین (B=BOTTOM) باشد، به ترتیب حرف T، M یا B و در انتهای نسبت جرمی می آید که این نسبت جرمی $1/5$ ، $0/5$ یا $3/5$ (در انتهای نام می آید). برای مثال، 12IRB05 نشان دهنده یک قاب دوازده طبقه نامنظم است که جرم طبقه اول آن نصف جرم بقیه طبقات می باشد و 8IRM30 نشان دهنده یک قاب هشت طبقه نامنظم می باشد که جرم طبقه چهارم آن سه برابر جرم بقیه طبقات و 16R نشان دهنده یک قاب شانزده طبقه منظم است که جرم همه طبقات یکسان می باشد (شکل ۲).

غیرخطی برای سازه یک درجه آزاد به زمان زیادی نیاز ندارد، برتری زمانی روش تحلیل طیف ظرفیت بر این روش قابل اغماس است. از طرف دیگر، در روش تحلیل طیف ظرفیت در مرحله اول رفتار خطی یا غیرخطی سازه تشخیص داده می شود. در صورت خطی بودن رفتار، به انجام سعی و خطای از نیست؛ اما در روش تحلیل استاتیکی فزاینده غیرخطی مدی در هر صورت سازه با رفتار غیرخطی، مدل و تحلیل می شود.

۳-۲-۳- تعیین نسبت تغییر مکان نسبی

یکی از مهمترین پارامترهای مؤثر در تعیین آسیب پذیری سازه ها، تغییر مکان نسبی طبقات (Drift Ratio) است که در آینه نامه های مختلف حدودی به عنوان حدود مجاز آن تعیین گردیده است. برای تعیین تغییر مکان نسبی در روش تحلیل دینامیکی غیرخطی، تاریخچه پاسخ هر طبقه برای هر زلزله به دست می آید. با کسر تاریخچه پاسخ هر طبقه از تاریخچه پاسخ طبقه بالا، تاریخچه تغییر مکان نسبی (Drift) طبقه بالا تعیین می شود. مقدار بیشینه این تاریخچه (به صورت قدر مطلق) به عنوان تغییر مکان نسبی طبقه منظور می گردد. با تقسیم این مقدار بر ارتفاع طبقه، نسبت تغییر مکان نسبی تعیین می شود.

۴- مدل سازی و محاسبات

با هدف حصول به نتایج عددی قابل بحث و بررسی تعداد سی قاب فولادی با مشخصات مختلف سازه ای، هندسی و با متغیر کردن سه پارامتر محل طبقه نامنظم، نسبت جرمی و تعداد طبقات تعریف گردید.

۴-۱- معرفی مدل ها

برای انجام مطالعات تحلیلی در این تحقیق در مجموع از سی قاب فولادی هشت، دوازده و شانزده طبقه استفاده شده است که مشخصات سازه ها به شرح زیر می باشد:

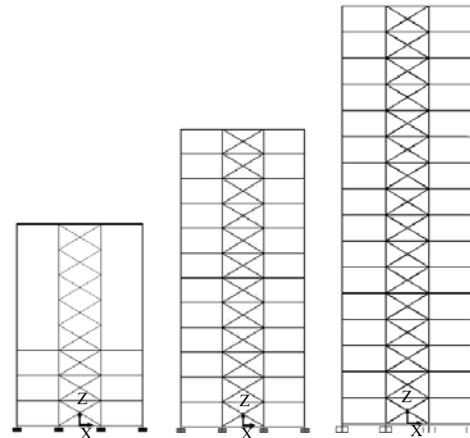
همخوانی مناسب در محدوده‌های زمان تناوب مورد نظر می‌باشد. خصوصیت دیگر اکثر این حرکات آن است که حرکات، حوزه نزدیک و دارای ماهیت ضربه‌ای (Impulsive) می‌باشند. طیف پاسخ هریک به همراه میانگین پاسخ در شکل (۳) نشان داده شده است [۴].

۴-۳- تعیین نسبت تغییر مکان نسبی

برای تعیین تغییر مکان نسبی در روش تحلیل دینامیکی غیرخطی، تاریخچه پاسخ هر طبقه برای هر زلزله به دست می‌آید. با کسر تاریخچه پاسخ این طبقه از تاریخچه پاسخ طبقه بالا، تاریخچه تغییر مکان نسبی (Drift) طبقه بالا تعیین می‌شود. مقدار بیشینه این تاریخچه (به صورت قدر مطلق) به عنوان تغییر مکان نسبی طبقه منظور می‌گردد. با تقسیم این مقدار بر ارتفاع طبقه، نسبت تغییر مکان نسبی تعیین می‌شود.

۴-۴- انجام تحلیل استاتیکی غیرخطی

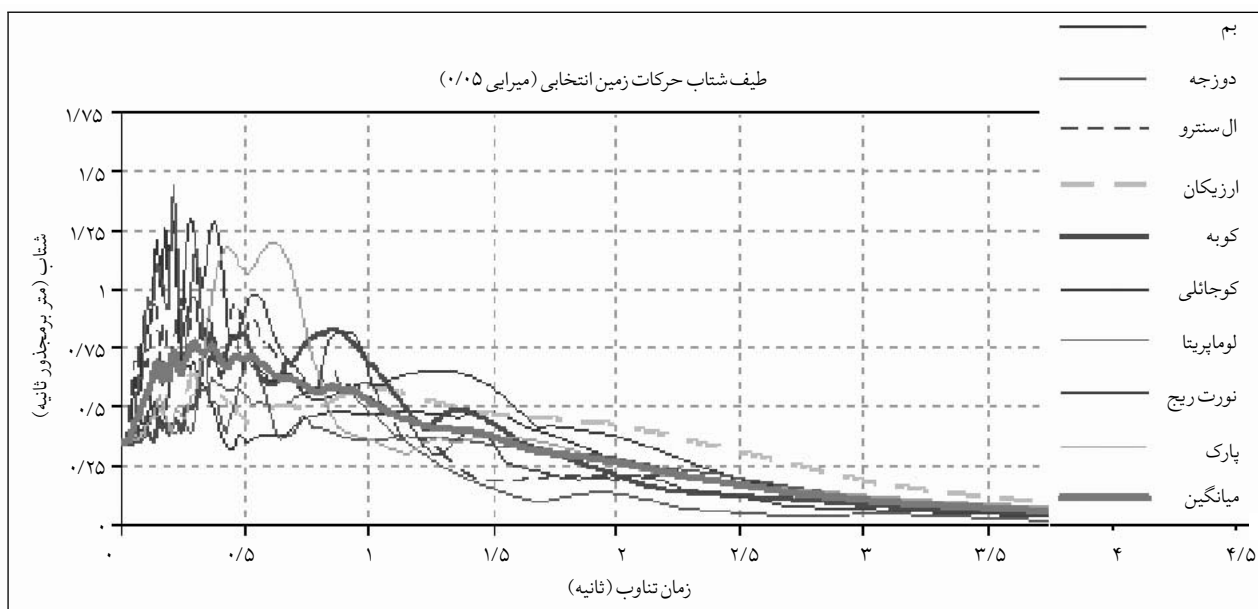
برای انجام تحلیلها از نرم‌افزار SAP2000 که دارای امکانات مناسب برای انجام تحلیلهای استاتیکی غیرخطی، تحلیلهای دینامیکی غیرخطی و امکانات مناسب گرافیکی می‌باشد، استفاده شده است. با توجه به اینکه در تحلیل استاتیکی غیرخطی مدل



شکل (۲): مدل‌های هشت، دوازده و شانزده طبقه منظم و نامنظم

۴-۲- شتابنگاشتهاي مورداً استفاده

به منظور انجام تحلیلهای دینامیکی تاریخچه زمانی غیرخطی و استاتیکی فراینده غیرخطی مدلی از نه شتابنگاشت به عنوان تاریخچه زمانی حرکت شدید زمین استفاده گردید. برای ایجاد همگونی و امکان مقایسه بهتر بین نتایج و استفاده از نتایج میانگین، تمام شتابنگاشتها به $PGA = 0.35g$ همپایه شدند. طراحی مدل‌ها بر اساس خاک نوع III انجام شده است (به منظور پوشش محدوده فرکانسی بیشتر). حرکات انتخابی نیز به گونه‌ای بودند که متناسب با این فرض باشند. طیف میانگین با طیف آئین نامه برای خاک نوع III مقایسه و نتایج حاکی از



شکل (۳): طیف شتاب و میانگین آن

خمیری در محاسبه یک منحنی ظرفیت جزء مراحل اساسی کار می باشد. در این تحقیق، تعریف مفاصل خمیری با استفاده از ۲۷۳ FEMA انجام گرفته است [۱۱]. علاوه بر آن، الگوی توزیع بار جانبی مورد استفاده، توزیع بار مدل می باشد که می توان منحنی های ظرفیت را بر اساس مدهای مدل تولید کرد. در روشهای تحلیل و طراحی بر اساس عملکرد، در تعیین رفتار غیر خطی اعضاء و به اصطلاح مفاصل خمیری از آین نامه های طراحی و تحلیل عملکردی استفاده می شود که در این تحقیق از ۲۷۳ FEMA استفاده گردیده است [۱۱]. به طور معمول در سازه ها سه عنصر بادیند، تیر و تیر - ستون استفاده می شود که به ترتیب سه نوع رفتار، نیروی محوری، خمش و اندرکنش خمش - نیروی محوری برای آنها تعریف می گردد.

۴-۶- منحنی های ظرفیت

برای انجام تحلیلهای استاتیکی فرایندهای غیرخطی و استخراج منحنی های ظرفیت از برنامه SAP2000 استفاده شده است. منحنی های ظرفیت از برنامه SAP2000 گرینهای برای اعمال بار جانبی با اعمال تغییر مکانهای نسبتاً بزرگ و انتخاب یک الگوی تغییر بار فراینده براساس هر مدل می توان منحنی ظرفیت سازه را در یک مدل خاص به صورت کامل و تاحد فروریزش به دست آورد. به عبارت دیگر، سازه با استفاده از نیروی مناسب با شکل مدارتعاشی رانده می شود و این رانش تا جایی ادامه پیدا می کند تا سازه به تغییر مکان هدف برسد و یا اینکه بر اثر تشکیل مفاصل خمیری ناپایدار شود. در هر مرحله از تحلیل، برش پایه اعمالی به سازه در مقابل تغییر مکان نقطه کنترل، ثبت شده و در مقابل هم رسم می شود و منحنی ظرفیت سازه به دست می آید. برنامه SAP2000 گرینهای برای اعمال بار جانبی مناسب با شکل مدارد. برنامه، بار جانبی را طوری به سازه وارد می کند که تغییر شکل سازه در هر مرحله از اعمال نیرو، نسبتی از تغییر شکل نهایی سازه در مد انتخابی باشد. نکته دیگر اینکه اعمال بارهای جانبی باید پس از پایان تحلیل بر اثر بارهای ثقلی شروع شود. در اعمال بارهای ثقلی به سازه برخلاف بارهای جانبی انتظار می رود هیچ گونه رفتار غیرخطی در اعضای سازه ای بروز ننماید که البته نتایج تحلیل مؤید این مطلب می باشد [۴].

۴-۵- مفاصل خمیری و خواص غیرخطی اعضا

تعريف مفاصل خمیری مدل ها برای تحلیل استاتیکی فرایندهای غیرخطی در تمام روشهای تحلیل استاتیکی غیرخطی همانند تحلیل استاتیکی فرایندهای غیرخطی مدل (MPA)، برای محاسبه منحنی ظرفیت سازه یکی از مراحل اولیه و مهم تحلیل می باشد. تعیین نوع الگوی توزیع بار جانبی و تعریف مفاصل

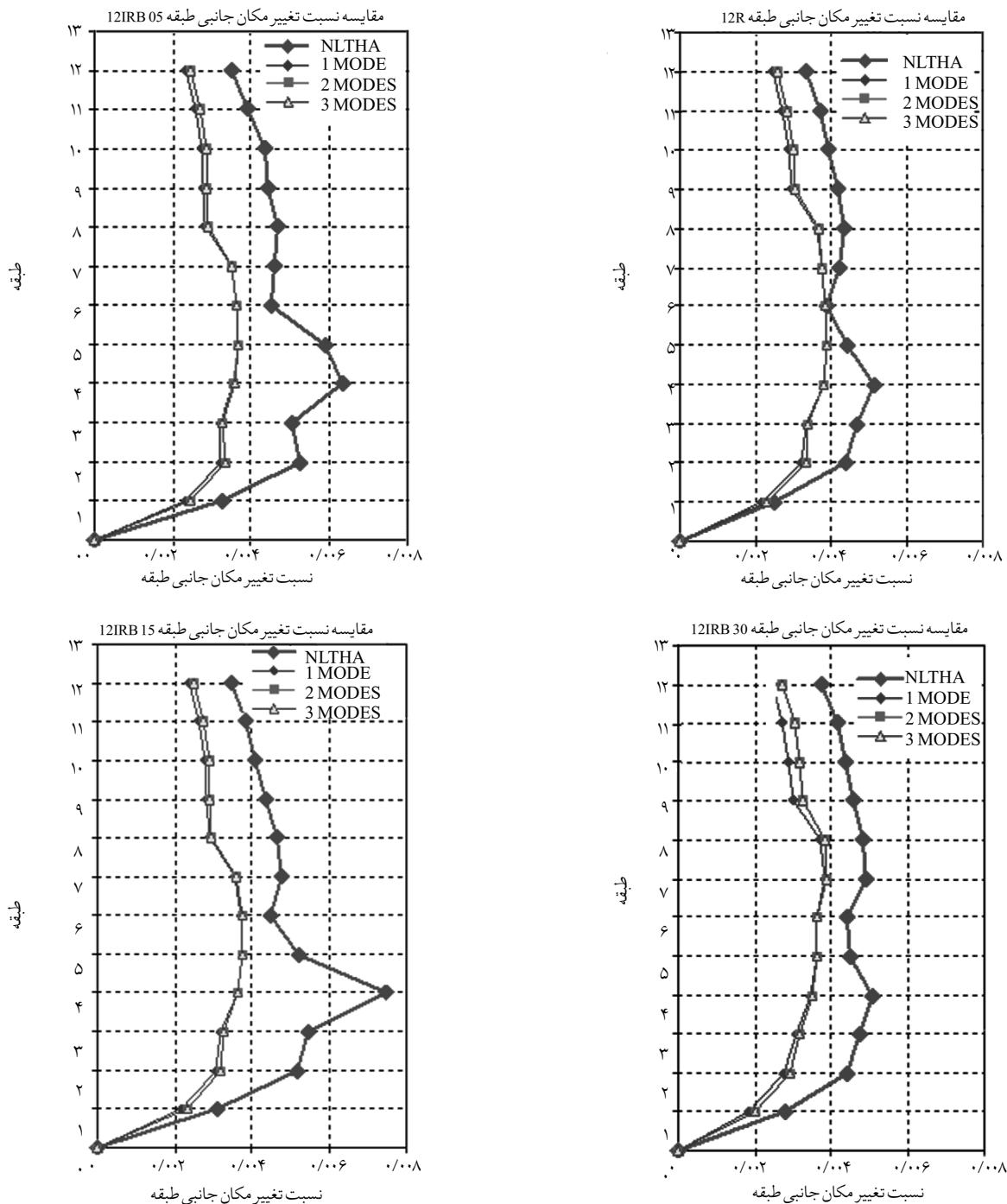
برای یافتن ویژگی های سیستم یک درجه آزاد معادل با هر مدار تعاشی به منحنی ظرفیت سازه نیاز است، انجام تحلیل استاتیکی فراینده غیرخطی برای قابهای معرفی شده لازم می باشد. برای درنظر گرفتن آثار مدهای بالاتر در سازه های موجود از الگوی توزیع بار جانبی با توجه به شکل مدارتعاشی سازه استفاده می گردد. با اعمال تغییر مکانهای نسبتاً بزرگ و انتخاب یک الگوی تغییر بار فراینده بر اساس هر مدل می توان منحنی ظرفیت سازه را در یک مدل خاص به صورت کامل و تاحد فروریزش به دست آورد. به عبارت دیگر، سازه با استفاده از نیروی مناسب با شکل مدارتعاشی رانده می شود و این رانش تا جایی ادامه پیدا می کند تا سازه به تغییر مکان هدف برسد و یا اینکه بر اثر تشکیل مفاصل خمیری ناپایدار شود. در هر مرحله از تحلیل، برش پایه اعمالی به سازه در مقابل تغییر مکان نقطه کنترل، ثبت شده و در مقابل هم رسم می شود و منحنی ظرفیت سازه به دست می آید. برنامه SAP2000 گرینهای برای اعمال بار جانبی مناسب با شکل مدارد. برنامه، بار جانبی را طوری به سازه وارد می کند که تغییر شکل سازه در هر مرحله از اعمال نیرو، نسبتی از تغییر شکل نهایی سازه در مد انتخابی باشد. نکته دیگر اینکه اعمال بارهای جانبی باید پس از پایان تحلیل بر اثر بارهای ثقلی شروع شود. در اعمال بارهای ثقلی به سازه برخلاف بارهای جانبی انتظار می رود هیچ گونه رفتار غیرخطی در اعضای سازه ای بروز ننماید که البته نتایج تحلیل مؤید این مطلب می باشد [۴].

تعداد طبقات، موقعیت طبقه نامنظم و نسبت جرمی طبقه نامنظم نسبت به دیگر طبقات بررسیهایی انجام گرفت. در شکلها (۴) تا (۱۰) نمودارهای نسبت تغییر مکان نسبی و در شکلها (۱۱) تا (۱۶) نمودارهای برش طبقات با متغیر بودن پارامترهای مذکور نشان داده شده است.

تحلیل دینامیکی تاریخچه زمانی غیرخطی بر روی همه مدلها به عنوان روش شاهد و برای بررسی دقیق پاسخها استفاده شده است [جزئیات در مرجع ۴].

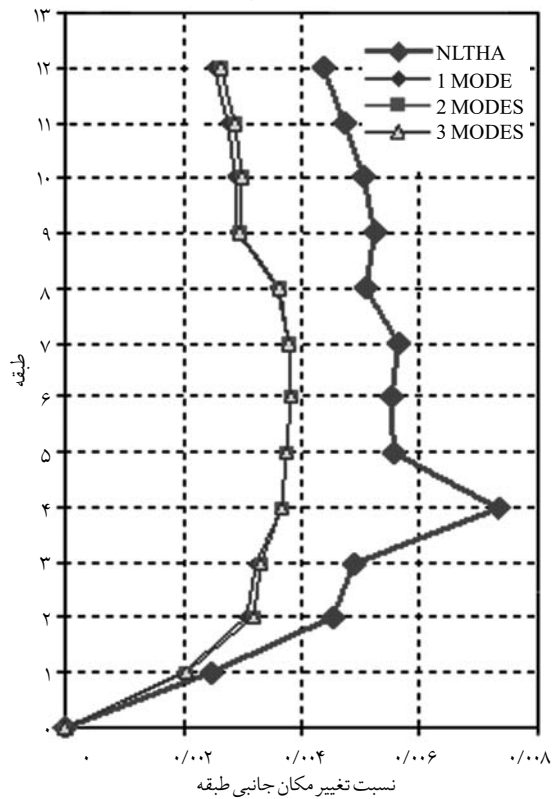
۵- مقایسه نتایج عددی

برای مشاهده پاسخ سازه با توجه به متغیر بودن سه پارامتر

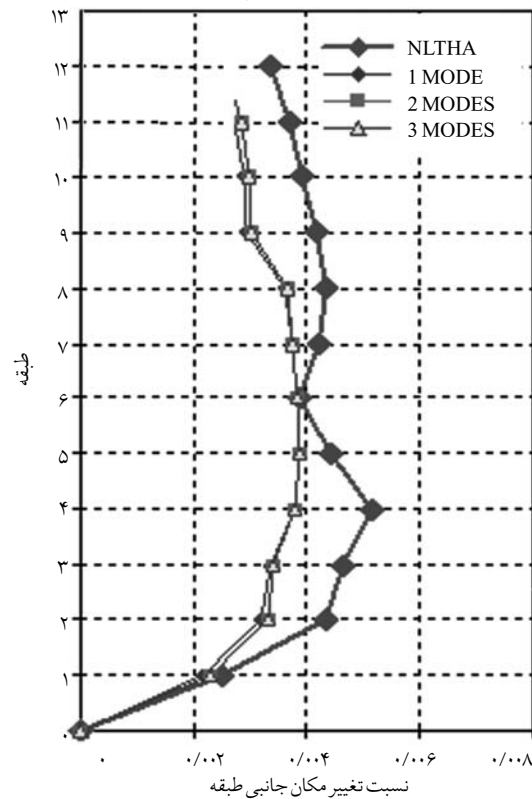


شکل (۴): نمودار نسبت تغییر مکان نسبی برای قابهای دوازده طبقه با نامنظمی جرم در طبقه اول با دو روش MPA و NLTHA

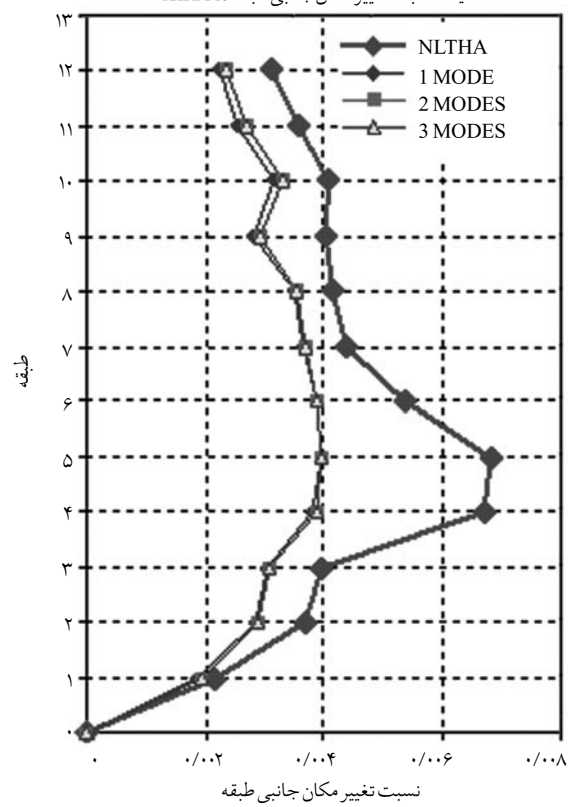
مقایسه نسبت تغییر مکان جانبی طبقه 05 12IRM



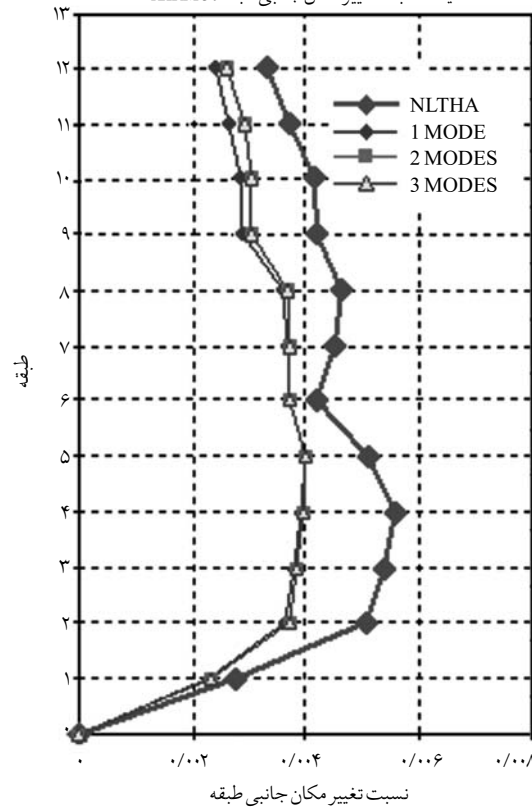
مقایسه نسبت تغییر مکان جانبی طبقه 12R 12IRM



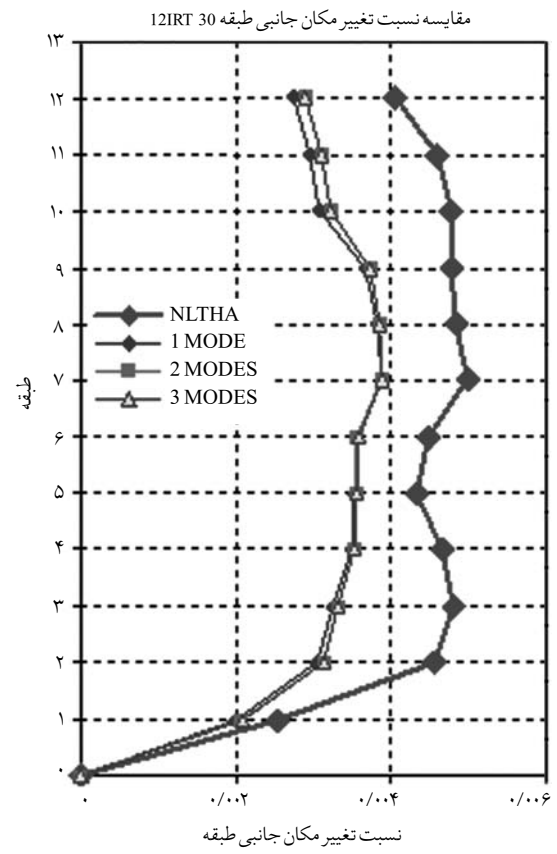
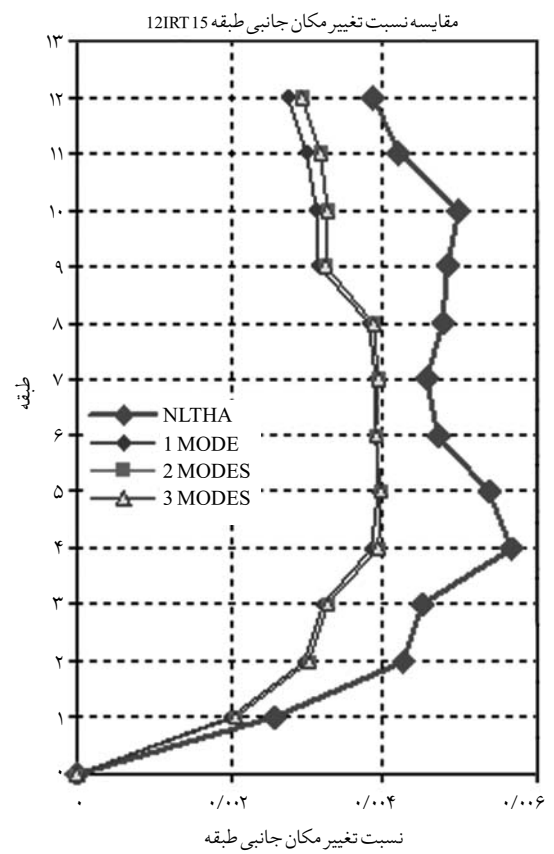
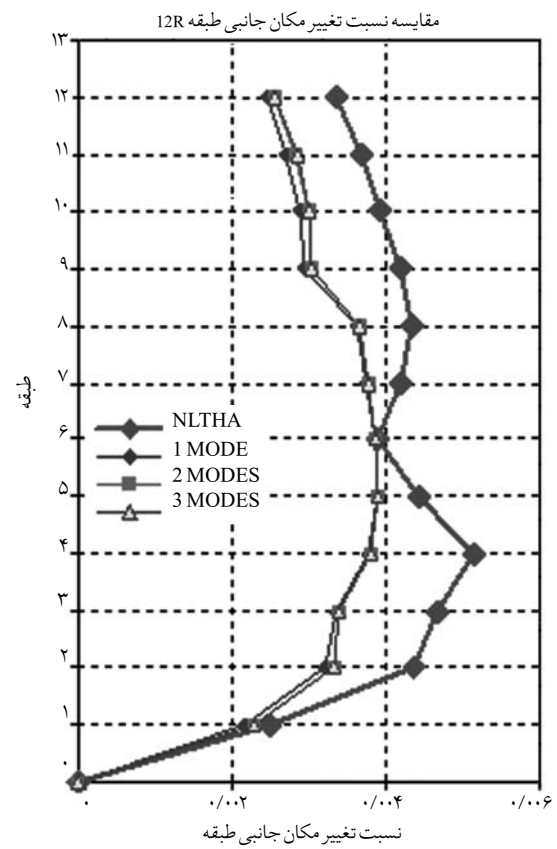
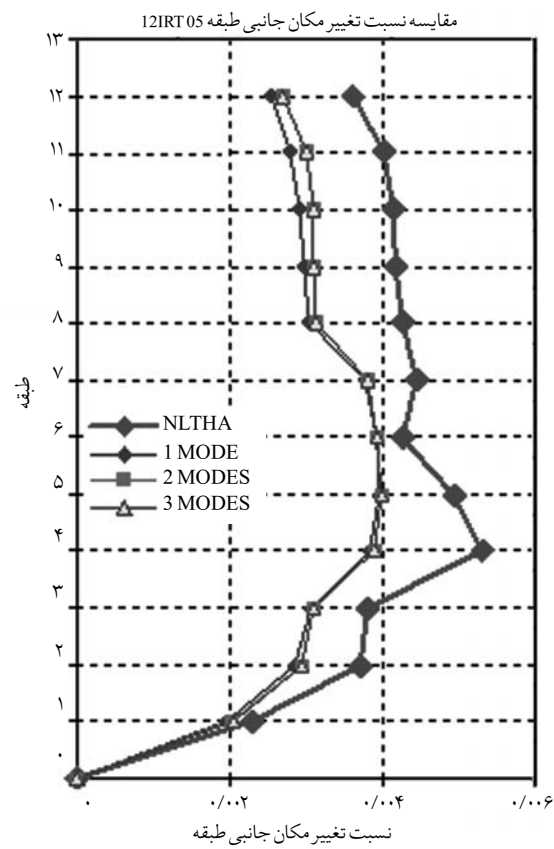
مقایسه نسبت تغییر مکان جانبی طبقه 15 12IRM



مقایسه نسبت تغییر مکان جانبی طبقه 30 12IRM

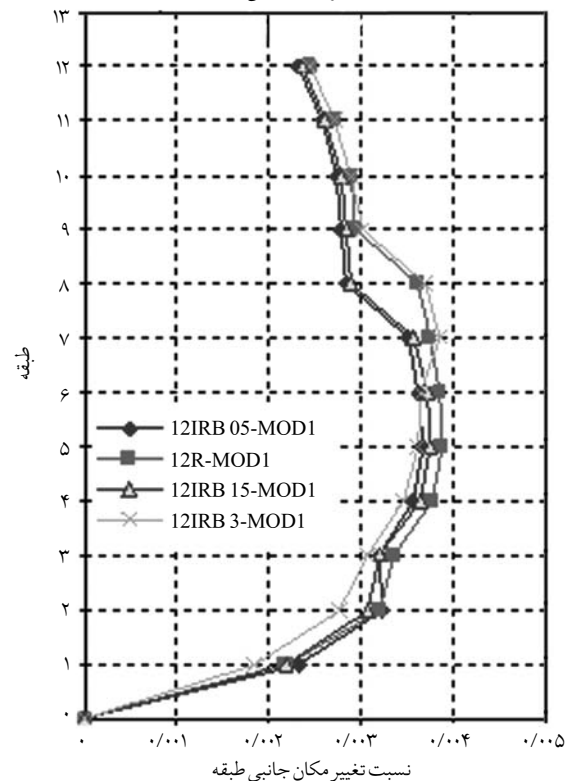


شکل (۵): نمودار نسبت تغییر مکان نسبی برای قابهای دوازده طبقه با نامنظمی جرم در طبقه ششم با دور روش MPA و NLTHA

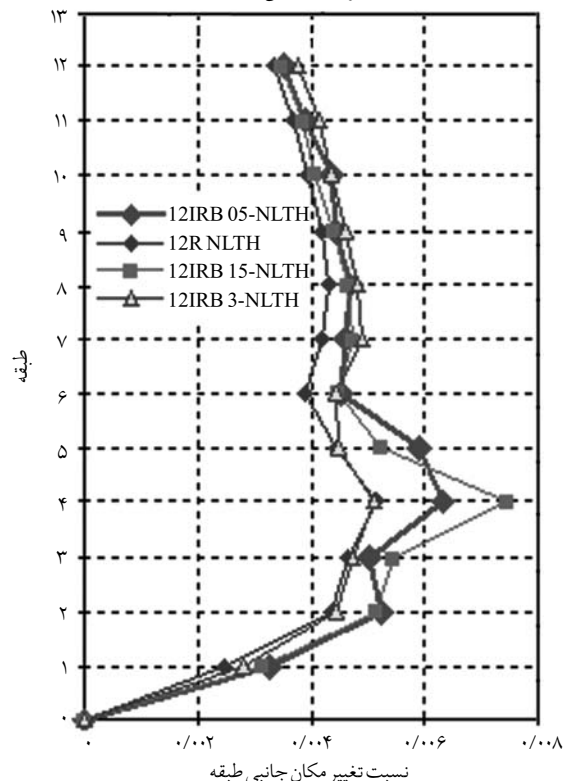


شکل (۶): نمودار نسبت تغییر مکان نسبی برای قابهای دوازده طبقه با نامنظمی جرم در طبقه دوازدهم با در روش MPA و NLTHA

مقایسه نسبت تغییر مکان جانبی طبقه MPA 12B

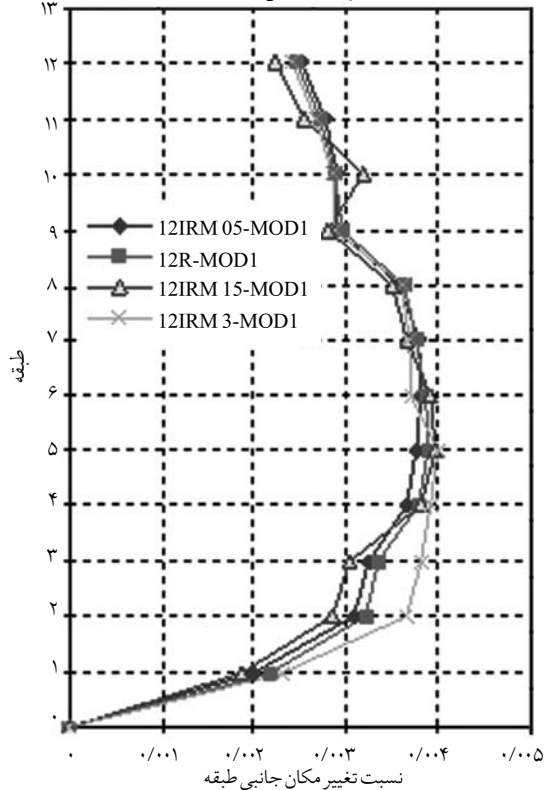


مقایسه نسبت تغییر مکان جانبی طبقه NLTH 12B

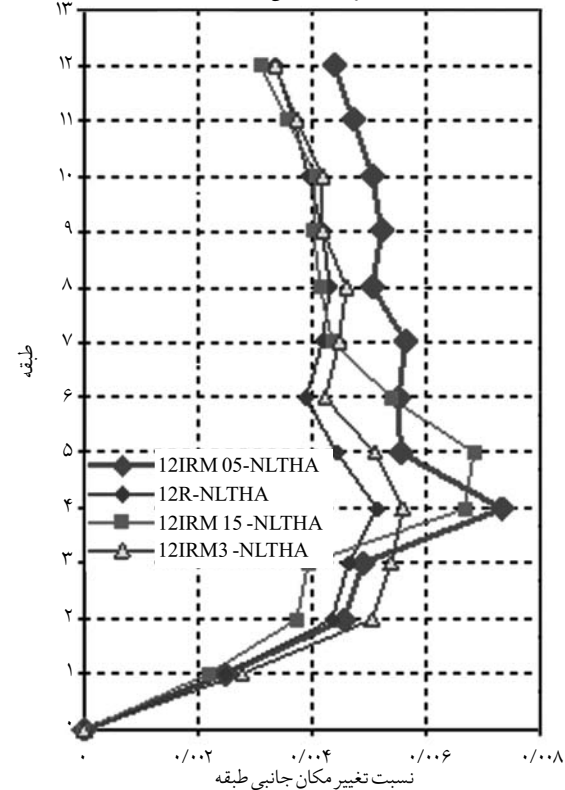


شکل(7): نمودار نسبت تغییر مکان نسبی برای قابهای دوازده طبقه با نامنظمی جرم در طبقه اول با دو روش MPA و NLTH

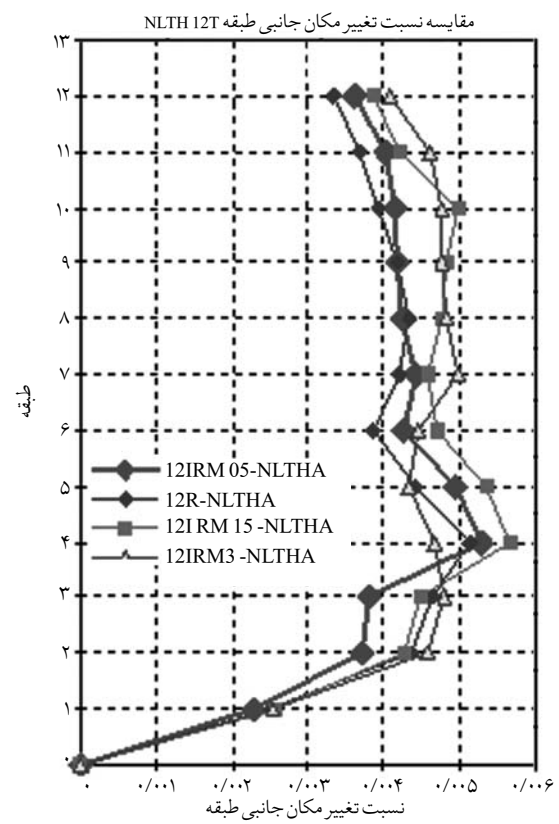
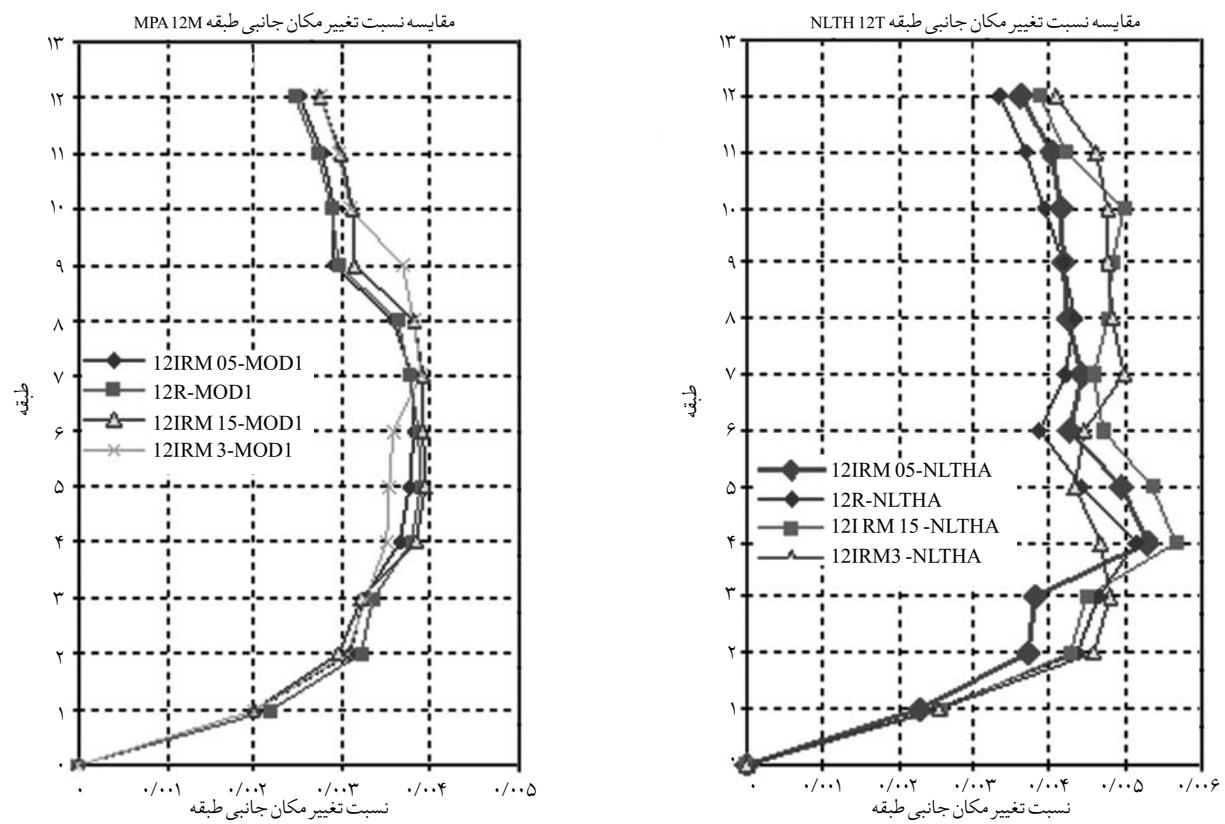
مقایسه نسبت تغییر مکان جانبی طبقه MPA 12M



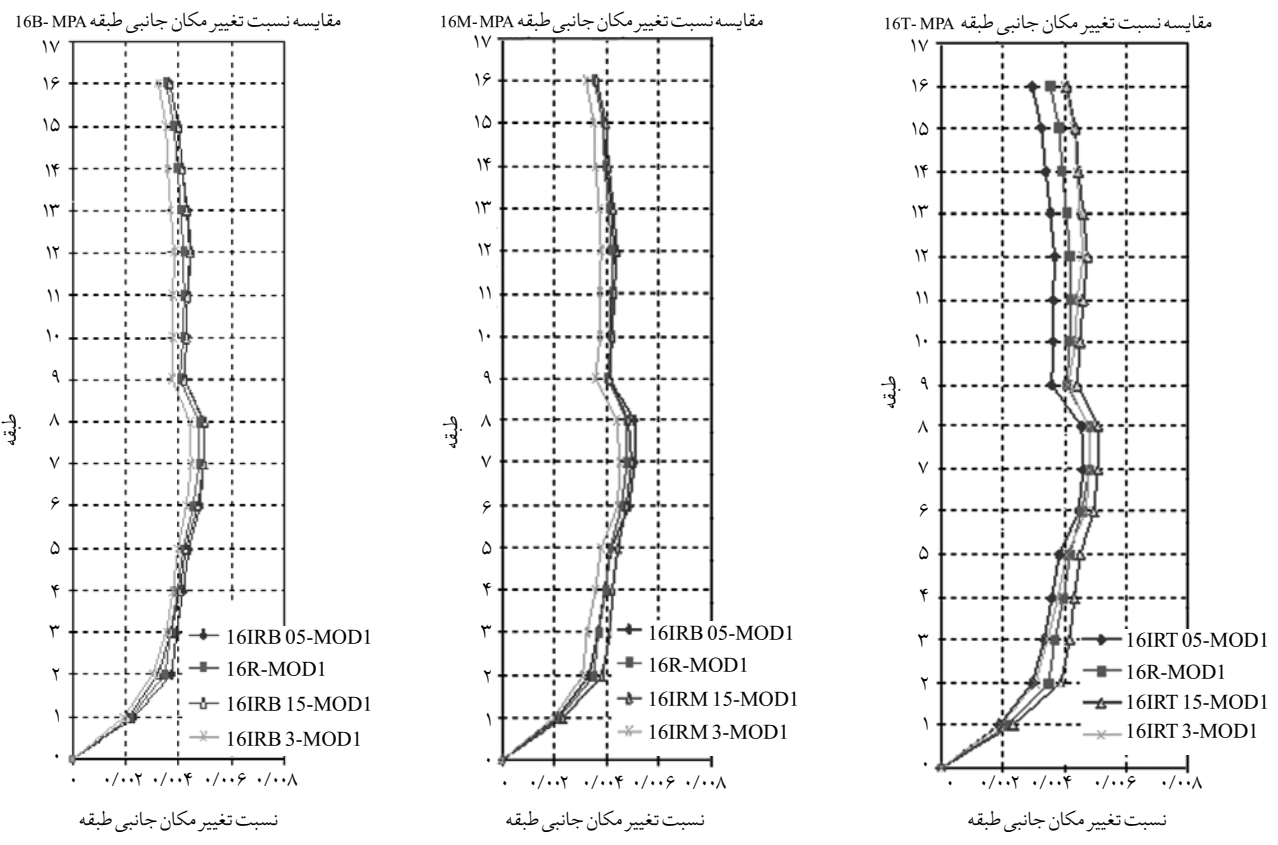
مقایسه نسبت تغییر مکان جانبی طبقه NLTH 12M



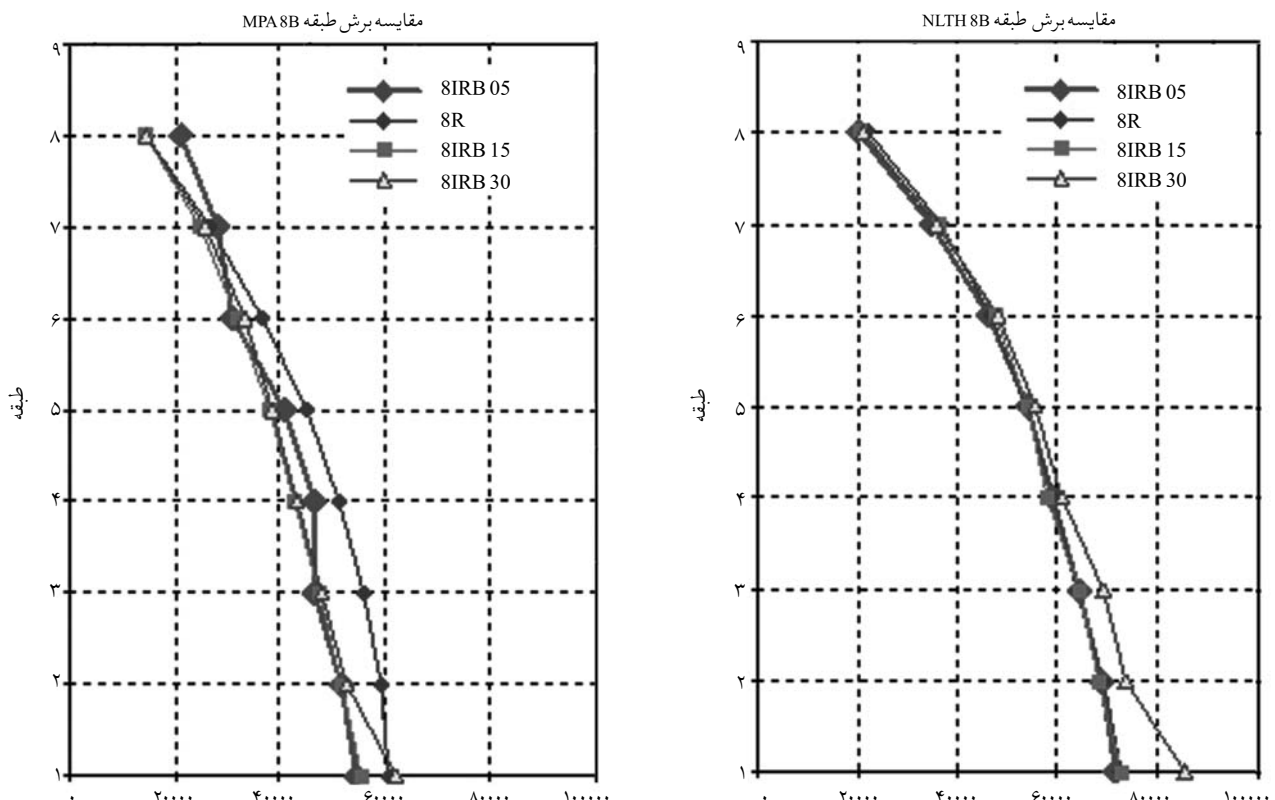
شکل(8): نمودار نسبت تغییر مکان نسبی برای قابهای دوازده طبقه با نامنظمی جرم در طبقه ششم با دو روش MPA و NLTH



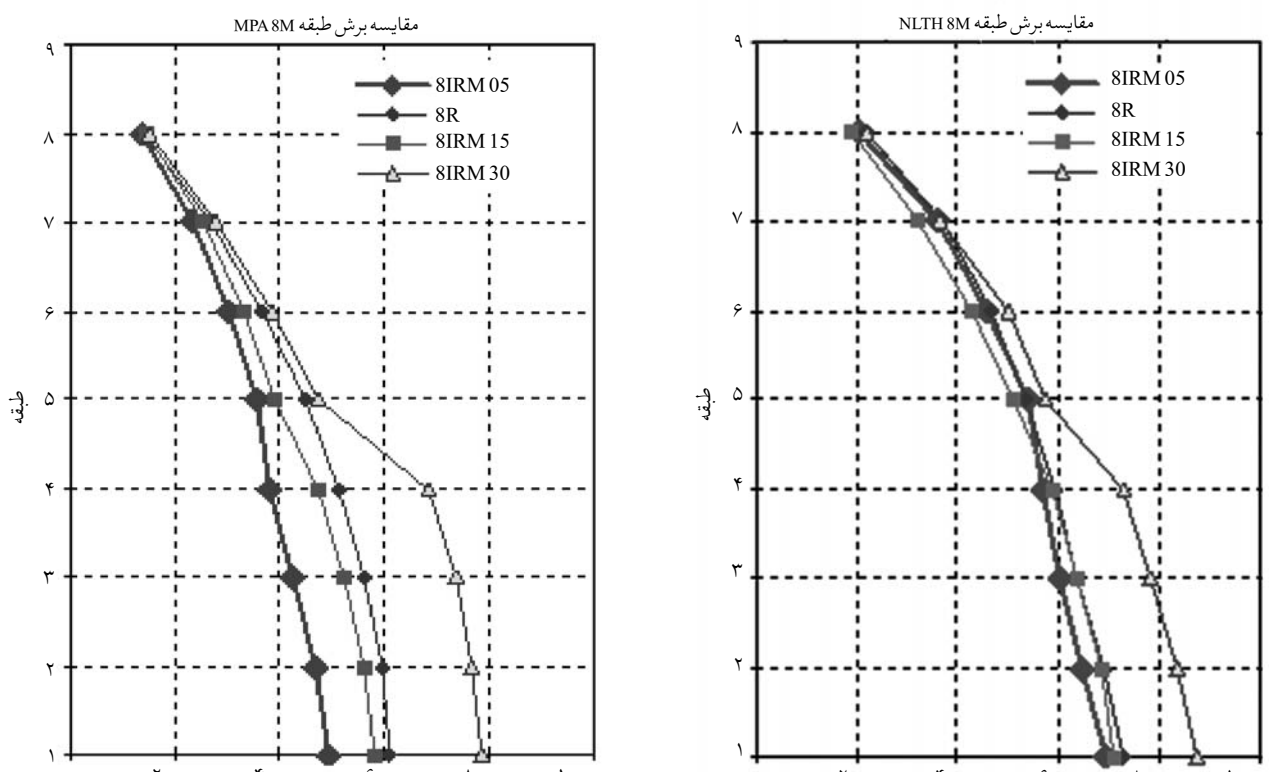
شکل(۹): نمودار نسبت تغییر مکان نسبی برای قابهای دوازده طبقه با نامنظمی جرم در طبقه دوازدهم با دروش MPA و NLTH



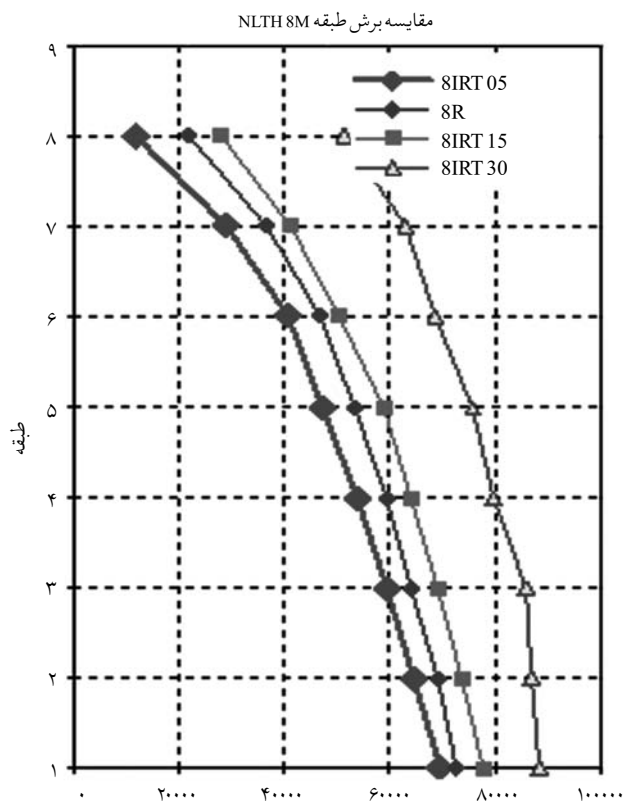
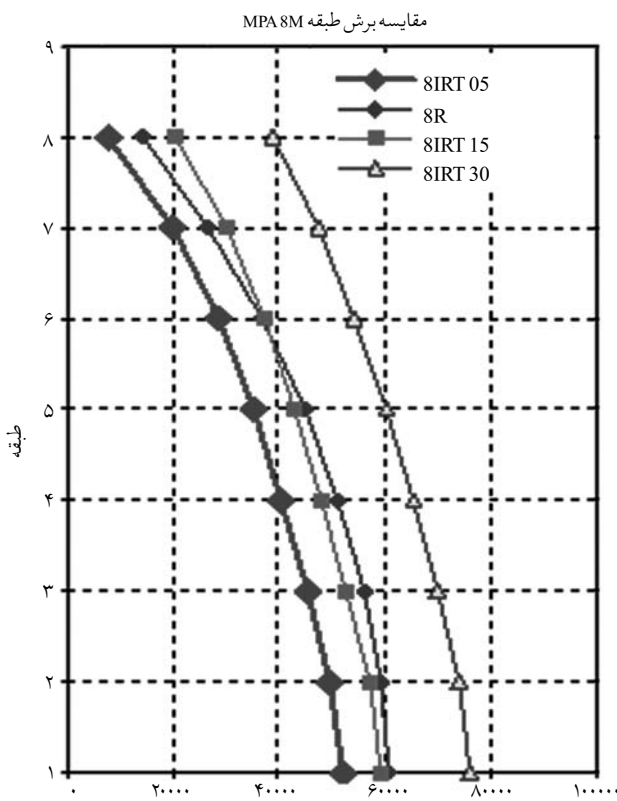
شکل(۱۰): نمودار نسبت تغییر مکان نسبی برای قابهای شانزده طبقه با نامنظمی جرم در طبقات مختلف با روش MPA



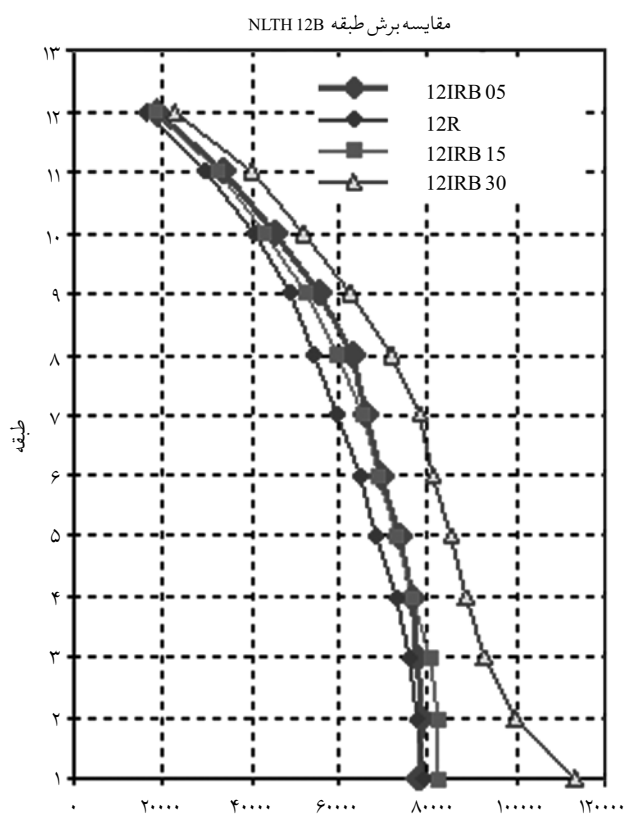
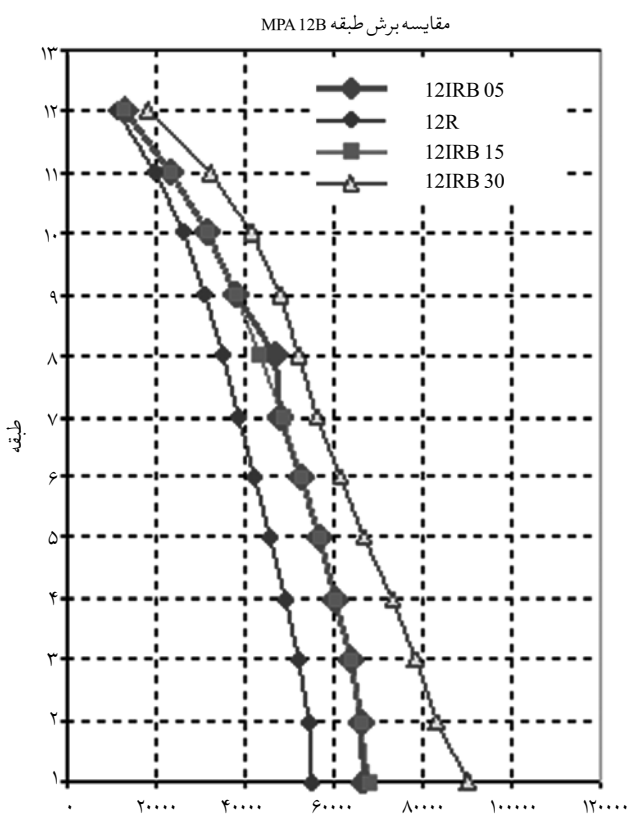
شکل(۱۱): نمودار برش طبقات برای قابهای هشت طبقه با نامنظمی جرم در طبقه اول با دو روش MPA و NLTH



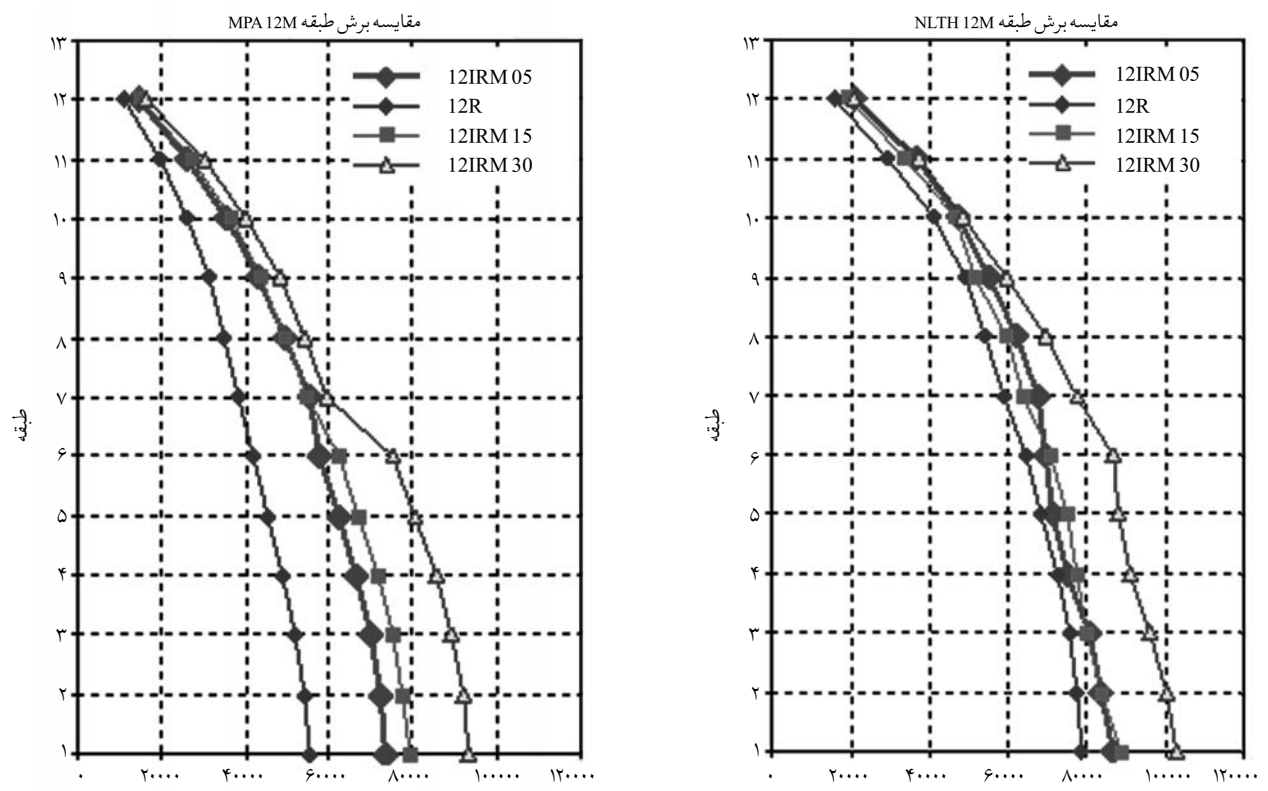
شکل(۱۲): نمودار برش طبقات برای قابهای هشت طبقه با نامنظمی جرم در طبقه چهارم با دو روش MPA و NLTH



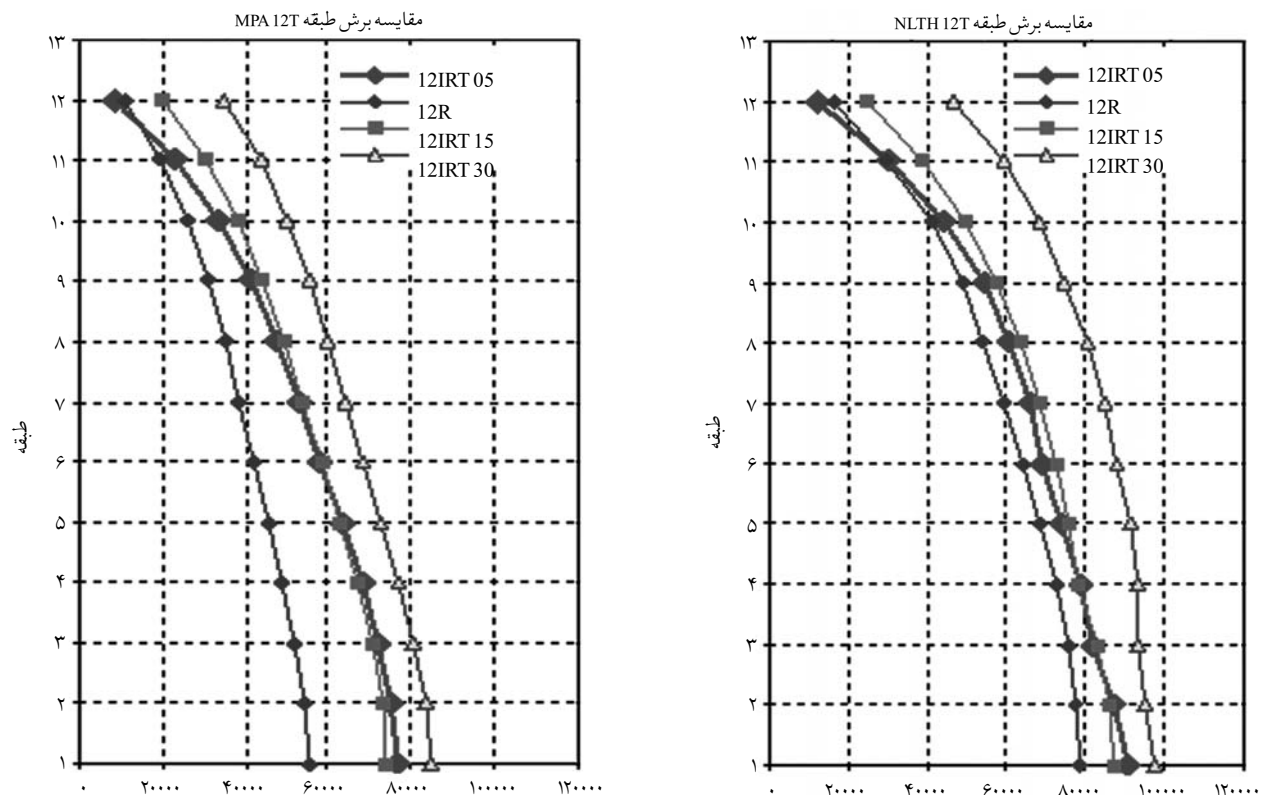
شکل (۱۳): نمودار برش طبقات برای قابهای هشت طبقه با نامنظمی جرم در طبقه هشتم با دو روش MPA و NLTH



شکل (۱۴): نمودار برش طبقات برای قابهای دوازده طبقه با نامنظمی جرم در طبقه اول با دو روش MPA و NLTH



شکل(۱۵): نمودار برش طبقات برای قابهای دوازده طبقه با نامنظمی جرم در طبقه ششم با دو روش MPA و NLTH



شکل(۱۶): نمودار برش طبقات برای قابهای دوازده طبقه با نامنظمی جرم در طبقه دوازدهم با دو روش MPA و NLTH

۶- تفسیر نمودارها

طبقات بالاتر به پاسخهای دقیق نزدیکتر است، متوسط نسبت تغییر مکان نسبی طبقه در روش MPA اختلاف زیادی نسبت به روش دقیق ندارد و به طور کلی اختلاف نتایج روش MPA و MPA دقیق در طبقات بالاتر کمتر می‌باشد. در سازه‌هایی که مشارکت مداول زیاد می‌باشد و یا به عبارتی مداول حاکم است، با استفاده از همان یک مد هم پاسخهای قابل قبولی دریافت می‌شود.

با مقایسه نمودارهای قابهای شکل (۶) (12IRT05, 12R, 12IRT15, 12IRT30) دیده می‌شود که در روش دقیق، نسبتهای تغییر مکان نسبی همه طبقات نزدیک به هم می‌باشد که البته در طبقات پایینی کمی بیشتر می‌باشد. تغییر در نسبتهای جرمی تأثیر کمی در نتایج MPA دارند. افزایش نسبت جرمی باعث بیشتر شدن اختلاف روش MPA و روش دقیق می‌شود. متوسط نسبت مکان نسبی طبقه در روش MPA اختلاف زیادی نسبت به روش دقیق ندارد و به طور کلی اختلاف نتایج روش MPA و دقیق در طبقات بالاتر کمتر می‌باشد. در سازه‌هایی که مشارکت مداول زیاد می‌باشد و یا به عبارتی مداول حاکم است با استفاده از همان یک مد هم پاسخهای قابل قبولی دریافت می‌شود.

با مقایسه دو روش MPA و NLTH دیده شد که روند پاسخها برای حالت‌های نامنظم در دو روش مشابه می‌باشد (شکلهای ۷، ۸ و ۹). برای مثال، اگر نامنظمی در بالا باشد بین نسبت جرم‌های متفاوت یک اختلاف از بالا تا پایین به وجود می‌آید یا اگر نامنظمی در پایین باشد بین نسبت جرم‌های متفاوت یک اختلافی در پایین به وجود می‌آید. علاوه بر آن، در حالتی که نامنظمی در طبقه بالا به وجود می‌آید این نامنظمی بر روی تمامی طبقات تأثیر می‌گذارد و یک اختلاف از طبقات بالا تا پایین بین دو روش وجود دارد و می‌توان گفت در این حالت بیشترین اختلاف دور روش وجود دارد.

در این تحقیق برای نمونه نمودارهای دوازده طبقه بیشتر مورد بررسی قرار گرفتند. بررسیهای کاملتر نشان داد که روند پاسخها با افزایش یا کاهش طبقات تغییر محسوسی نمی‌کند و فقط مقدار آن کمی تفاوت می‌کند.

با مقایسه نمودارهای قابهای شکل (۴) (12IRB05, 12R, 12IRB15, 12IRB30) روش دقیق NLTH، نسبتهای تغییر مکان نسبی در طبقات پایین بیشتر می‌شود که با بررسی نحوه تشکیل مفاصیل و موقعیت آنها طبیعی به نظر می‌رسد. علاوه بر آن، تغییر در نسبتهای جرمی، تأثیر کمی در نتایج MPA دارند؛ در حالی که نتایج NLTH در نزدیکی نامنظمی متفاوت می‌باشد و هنگامی که نامنظمی در پایین می‌باشد، پاسخهای طبقات بالاتر به پاسخهای دقیق نزدیکتر است. متوسط نسبت تغییر مکان نسبی طبقه در روش MPA اختلاف زیادی نسبت به روش دقیق ندارد و به طور کلی اختلاف نتایج روش MPA و دقیق در طبقات بالاتر کمتر می‌باشد. در سازه‌هایی که مشارکت مداول زیاد می‌باشد و یا به عبارتی مداول حاکم است، با استفاده از همان یک مد هم پاسخهای قابل قبولی دریافت می‌شود.

با مقایسه نمودارهای قابهای شکل (۵) (12IRM05, 12R, 12IRM15, 12IRM30) در روش دقیق NLTH، نسبتهای تغییر مکان نسبی در نیمه پایینی بیشتر می‌شود که با بررسی نحوه تشکیل مفاصیل و موقعیت آنها طبیعی به نظر می‌رسد. علاوه بر آن، تغییر در نسبتهای جرمی تأثیر کمی در نتایج MPA دارند؛ در حالی که نتایج NLTH در نزدیکی نامنظمی متفاوت می‌باشد. افزایش نسبت جرمی باعث بیشتر شدن اختلاف روش MPA و روش دقیق می‌شود. هنگامی که نامنظمی در وسط است، پاسخهای

- تغییر مکان نسبی طبقه در نزدیکی نامنظمی (نه تنها در طبقه نامنظم بلکه در نزدیکی آن) را افزایش می دهد و مقدار خطای روش MPA نسبت به دقیق بیشتر می شود.
- ۳- نامنظمی در طبقات میانی، باعث به وجود آمدن مفاصل بیشتر در نزدیکی نامنظمی و طبقات پایین تر می شود و در نتیجه نسبت تغییر مکان نسبی را در نیمه پایینی افزایش می دهد و مقدار خطای روش MPA نسبت به دقیق بیشتر می شود.
- ۴- نامنظمی در طبقات بالایی، باعث به وجود آمدن مفاصل بیشتر در نزدیکی نامنظمی و طبقات پایین تر می شود و نسبت تغییر مکان نسبی را در همه طبقات افزایش می دهد و مقدار خطای روش MPA نسبت به دقیق بیشتر می شود.
- ۵- نسبت جرمی طبقه نامنظم به منظم تأثیر کمی در نتایج MPA دارد و نتایج ۵۰٪ و ۱۵۰٪ نسبت جرمی نه تنها در روش MPA بلکه در روش دقیق هم در بسیاری از موارد به هم نزدیک است.
- ۶- در سازه هایی که مشارکت مداول زیاد می باشد و یا به عبارتی مداول حاکم است، با استفاده از همان یک مد هم جوابهای قابل قبولی به دست می آید. آثار مدهای بالاتر در جهت کم کردن مقدار خطای می باشد. این کاهش خطای معمولاً در محلهایی می باشد که بیشترین خطای وجود دارند.
- ۷- همان روندهایی که در نسبت تغییر مکان نسبی طبقه دیده شد وجود دارد. با این تفاوت که MPA بر ش طبقات را بهتر تخمین می زندوبه جوابهای دقیق نزدیکتر است.
- ۸- مقایسه نمودارهای برش طبقات با نسبت تغییر مکان

تغییر نسبتهای جرمی تأثیر کمی در نتایج روش MPA دارد و این موضوع برای همه سازه های هشت، دوازده و شانزده طبقه وجود دارد (شکل ۸)، که این موضوع در نمودارهای مجراب را MPA بیشتر مشاهده می شود. علاوه بر آن، نمی توان گفت با افزایش نسبت جرمی، نسبت تغییر مکان نسبی همواره افزایش می یابد.

تقریباً همان روندهایی که در نسبت تغییر مکان نسبی طبقه دیده شد در نمودارهای برش طبقات دیده می شود (شکلهای ۹ تا ۱۴). برای مثال، در حالتی که نامنظمی در وسط است برش طبقات از طبقه وسط تا پایین را تحت تأثیر قرار می دهد و یک جهش در طبقه وسط مشاهده می شود. با این تفاوت که MPA برش طبقات را بهتر تخمین می زندوبه جوابهای دقیق نزدیکتر است.

با مقایسه شکلهای برش طبقات در سازه های هشت و دوازده طبقه دیده می شود که دقت روش MPA در تخمین برش طبقات در همه سازه ها خوب می باشد و در نمودارهای برش طبقات دیده می شود که MPA نسبت به محل نامنظمی و نسبت جرمی حساستر می باشد و پاسخهای روش دقیق نزدیکتر است.

۷- نتیجه گیری

اهم نتایج این تحقیق عبارتند از:

۱- تغییر در نسبتهای جرمی و محل نامنظمی تأثیر کمی در نتایج MPA می گذارد؛ اما متوسط تغییر مکان نسبی طبقه در روش MPA اختلاف زیادی نسبت به روش دقیق تاریخ چه زمانی غیرخطی ندارد.

۲- نامنظمی در طبقات پایین، باعث به وجود آمدن مفاصل بیشتر در نزدیکی نامنظمی می شود و در نتیجه نسبت

California, Berkeley.

9-Chopra A.K., Goel, R.K. (2002). A modal pushover analysis procedure for estimating seismic demand for building. *J. Earthquake Engineering and Structural Dynamics*, 31, 561-582.

۱۰- مرکز تحقیقات و مسکن. آئین نامه طراحی ساختمانها در برابر زلزله، استاندارد ۲۸۰۰، (ویرایش دوم).

تهران: مؤلف.

11-Building Seismic Safety Council. (1997). NEHRP Guidelines for the Seismic Rehabilitation of Buildings, FEMA-273 .Federal Emergency Management Agency. Washington DC.◀

نسبی مبین آن است که MPA نسبت به محل نامنظمی و نسبت جرمی حساستر می باشد و پاسخهای روش دقیق نزدیکتر است.

۸- مراجع

۱- پژوهشگاه بین المللی زلزله شناسی و مهندسی زلزله. (خردادماه ۱۳۸۱). دستورالعمل بهسازی لرزه ای ساختمانهای موجود. تهران: مؤلف.

2-Building Seismic Safety Council. (1997). *NEHRP Guidelines for the Seismic Rehabilitation of Buildings, FEMA-302*. Federal Emergency Management Agency. Washington DC.

3-Building Seismic Safety Council. (1997). *NEHRP Guidelines for the Seismic Rehabilitation of Buildings, FEMA-303*. Federal Emergency Management Agency. Washington DC.

۴- دیر باز، مجتبی. (۱۳۸۴). کاربرد روش استاتیکی فزانیده غیرخطی مدلی در قابهای بنا نامنظمی جرم در ارتفاع. پایان نامه کارشناسی ارشد، تهران: پژوهشگاه بین المللی زلزله شناسی و مهندسی زلزله.

5-Valley, M.T., Harris, J.R. (1998). Application of model techniques in a pushover analysis. *6th US National Conference on Earthquake Engineering*.

6-Kilar, V., Faifar, P. (1997). Simple pushover analysis of asymmetric buildings. *Journal of Earthquake Engineering and Structural Dynamics*, 26, pp. 233-249.

7-Gupta, B., Kunnath, S.K. (2000). Adaptive spectra based pushover procedure for seismic evaluation of structures. *J. Earthquake Spectra*. 16. No. 2.

8-Chopra, A.K., Goel, R.K. (2001). *A modal pushover analysis procedure for estimating seismic demand for building: theory and preliminary evaluation*. [Report No.PEER-2001/03]. Pacific Earthquake Engineering Research Center, University of